

تأثیر شدت دگرگونی و میزان تخلخل بر سرعت انتشار موج P در سنگ‌های دگرگونی ناحیه‌ای (زون سنتنج سیرجان – منطقه سد زاینده‌رود)

لطفی صمدی*

*دانشگاه تربیت معلم، دانشکده علوم، گروه زمین‌شناسی.

دریافت مقاله: ۱۱/۱۱/۱۹ پذیرش مقاله: ۱۱/۰۹/۱۳

چکیده

در این مقاله با استفاده از روش لرزه‌نگاری سطحی توزیع سرعت موج P در سنگ‌های دگرگونی ناحیه‌ای منطقه سد زاینده‌رود (زون سنتنج- سیرجان) بررسی می‌شود. مطالعات صحرایی با سیستم لرزه‌نگار ۲۴ کاناله دیجیتال انجام شده است. تحلیل داده‌های لرزه‌ای نشان می‌دهد که سرعت موج P در سنگ‌های دگرگونی منطقه با عمق به صورت خطی افزایش می‌یابد و از معادله $z = 3200 + \frac{6}{5}z$ تبعیت می‌کند. میزان تغییرات سرعت موج P برحسب شدت دگرگونی (از اسلیت به شیست) از سطح تا عمق ۳۵۰ متری به طور پیوسته از ۳۲۰۰ تا ۵۴۷۵ متر بر ثانیه با گرادیان سرعت $\frac{6}{5}$ (ثانیه $^{-1}$) تغییر می‌کند. بالا بودن گرادیان سرعت (در سنگ‌های دگرگونی بین ۵/۱ تا ۵/۵) نشان می‌دهد که وجود تشکیلات زمین ساخت عامل گسترش درزهای شکستگی‌ها در سنگ‌های دگرگونی منطقه است و تخلخل ثانویه در سنگ ایجاد می‌کند و بدليل عملکرد فرسایش و هوازدگی در قسمت‌های سطحی، گرادیان تغییرات سرعت با عمق را تشدید می‌نماید. با استفاده از فرمول زمان متوسط، میزان تخلخل درزهای برحسب شدت دگرگونی در سنگ‌های منطقه، از سطح تا عمق ۳۵۰ متری به طور پیوسته از ۵/۵ به کمتر از ۱ درصد کاهش می‌یابد.

کلیدواژه: سنگ دگرگونی، موج P، تخلخل، گرادیان سرعت

۱ مقدمه

افزایش سرعت موج P با عمق در پوسته قاره‌ای پدیده شناخته شده‌ای است. داده‌های لرزه‌ای نشان می‌دهد که افزایش فشار و دما، تأثیر متفاوتی بر سرعت امواج در سنگ‌های پوسته دارند به طوری که افزایش فشار به صورت گرادیان مثبت و افزایش دما به صورت گرادیان منفی بر سرعت امواج تأثیر می‌گذارد. درجه دگرگونی، تخلخل درزهای و نوع ترکیب کانی شناختی از عوامل مهم در میزان سرعت امواج لرزه‌ای در سنگ‌های دگرگونی است. در قسمت‌های آرام پوسته زمین در صورتی که نوع ترکیب کانی شناختی سنگ تغییر نکند و شدت دگرگونی و تخلخل درزهای نیز در سنگ وجود نداشته باشد، تغییرات سرعت موج P با عمق به کندی صورت می‌گیرد. در سنگ‌های یکپارچه، تغییر فشار طبقات به میزان ۲۵ مگاپاسکال که معادل افزایش عمق به اندازه ۱ کیلومتر است، سبب می‌شود که سرعت به میزان ۲ تا ۳

می شود. وجود زون های فرسایش یافته، هوازده و خرد شده توده های سنگی در سطح گسترش دارد و به دلیل عملکرد شدید فرسایش، ریخت شناختی نسبتاً همواری را در منطقه ایجاد کرده است. توده های سنگی عموماً به رنگ سبز و قهوه ای دیده می شوند.

از سنگ های رسوبی منطقه می توان به تابع، به لایه های ماسه سنگی، شیلی و آهکی ژوراسیک اشاره کرد که در قسمت هایی از منطقه مورد مطالعه، رخنمون دارند. این توده های سنگی، تحت تأثیر فرایندهای زمین ساختی، خرد شده و گسلیده است. به نظر می رسد که توده های سنگی ژوراسیک با همبری گسلی در کنار توده های دگرگونی واقع شده اند. توده های آهکی کرتاسه و کنگلومرا ای قرمز رنگ در منطقه، ارتفاعات معروف کماسون را تشکیل می دهند و به نظر می رسد به صورت یک همبری گسلی در تماس با توده های سنگی ژوراسیک می باشند.

۳ روش مطالعه

برای مطالعه نحوه توزیع سرعت موج P در سنگ های دگرگونی منطقه سد زاینده رود از روش لرزه نگاری سطحی استفاده شده است. عملیات لرزه نگاری در دو امتداد عمود بر هم اجرا شده اند. در محدوده ای به طول ۲/۲ کیلومتر در راستای شمال غرب - جنوب شرق (NW-SE) برداشت ها به صورت هم جهت با ساختارهای عمومی زمین ساختی (۵ برداشت لرزه ای) و در جهت عمود بر آن (تعداد ۵ برداشت عمودی) اجرا شده اند. چشمه های امواج به صورت انفجاری (دینامیت) است. بسته به موقعیت چشمه های انفجاری نسبت به نزدیک ترین ژئوفون در هر برداشت و میزان مواد مصرفی، عمق چال های انفجار از ۲ تا ۴ متر متغیر بوده است. نگاشت های لرزه ای به صورت رقومی با سیستم لرزه نگار ۲۴ کاناله ثبت شده است. برای ثبت مولفه های قائم ارتعاش ها از ژئوفون های نوع P که فاصله بین آنها ۱۵ متر است استفاده شده است. طول هر رد در نگاشت های لرزه ای ۳ ثانیه و فاصله نمونه برداری زمانی ۲ میلی ثانیه است.

این کمربند دگرگونی از جنبه های متفاوت دارای اهمیت است. با توجه به گسترش وسیع ناحیه دگرگونی در کشور، شناخت رفتار لرزه ای این زون دگرگونی از یک سو می تواند علاوه بر افزایش اطلاعات محلی سنگ ها، اطلاعات وسیع ناحیه ای از سطح خارجی پوسته را افزایش دهد و از سوی دیگر مطالعه خصوصیات لرزه ای سنگ های این زون به دلیل گسترش روز افزون فعالیت های عمرانی، تغییر طرح انتقال آب سد زاینده رود به کاشان و پروژه های ملی دیگر، دارای اهمیت است. در این مطالعه سعی شده است تا رفتار لرزه ای و نحوه توزیع سرعت موج P در سنگ های دگرگونی ناحیه سد زاینده رود، که بدون لایه پوششی در سطح، رخنمون دارد، بررسی شود.

۲ موقعیت و زمین شناسی عمومی منطقه مورد مطالعه

محدوده مورد مطالعه به وسعت حدود ۵ کیلومتر مربع در ۱۵۰ کیلومتری غرب اصفهان و در ۱۰ کیلومتری جنوب شرق روستای چادگان در منطقه تأسیسات سد زاینده رود واقع شده است. این منطقه به شدت تکثینیزه شده و تحت تأثیر تنش های زمین ساختی شدید قرار دارد. روند عمومی ساختارهای زمین ساختی از شمال غرب به جنوب شرق است و از روند عمومی زاگرس پیروی می کند (درویش زاده، ۱۳۷۰). وقوع پدیده دگرگونی در توده های سنگی ناحیه، گاملاً گستره و باز است. عملکرد گسل های موازی با روند ساختارهای زمین ساختی در منطقه موجب قرار گرفتن قطعات سنگی متفاوت در کنار یکدیگر و در میان توده های سنگی دگرگونی شده است. زون های برشی و خرد شده ناشی از عملکرد فرایندهای دگرسانی و زمین ساختی، در منطقه گسترش دارد.

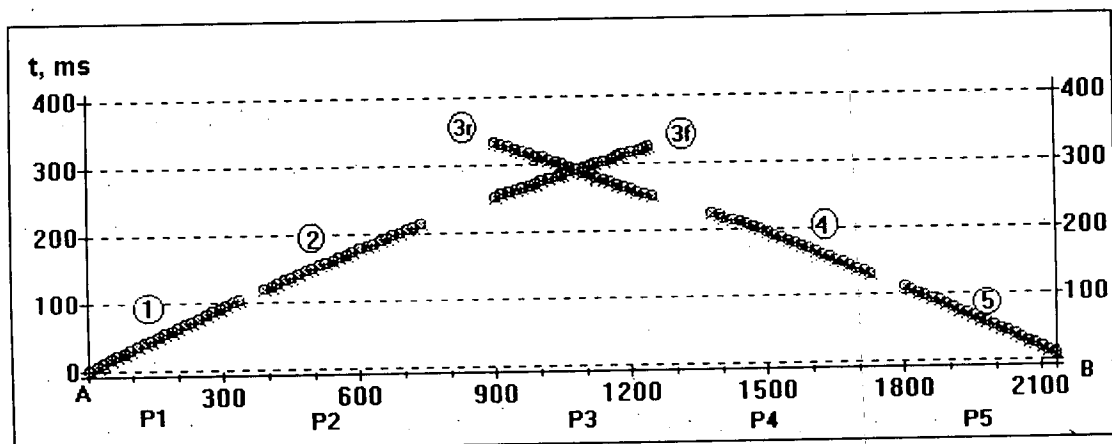
از نظر سنگ شناسی منطقه از مجموعه سنگ های دگرگونی و رسوبی تشکیل شده است. سنگ های دگرگونی ضعیف مانند اسلیت و فیلیت، سنگ های عمده منطقه را تشکیل می دهند و به میزان کم تری شیست نیز دیده می شود. وجود رگه هایی از تالک اسلیت و آپلیت او کوارتز هم درون این توده های سنگی مشاهده

جهت (NW-SE) است و نشان می‌دهد که سنگ‌های دگرگونی منطقه مورد مطالعه عمده‌اً در جهت قائم دارای غیر یکنواختی‌اند. برای حل وارون و تعیین روند تغییرات سرعت موج P با عمق، یکی از منحنی‌های مستقیم و یا وارون پروفیل بلند در شکل ۱ کافی است. در شکل ۲ نگاشته‌های لرزه‌ای وارون مربوط به پروفیل بلند آمده است.

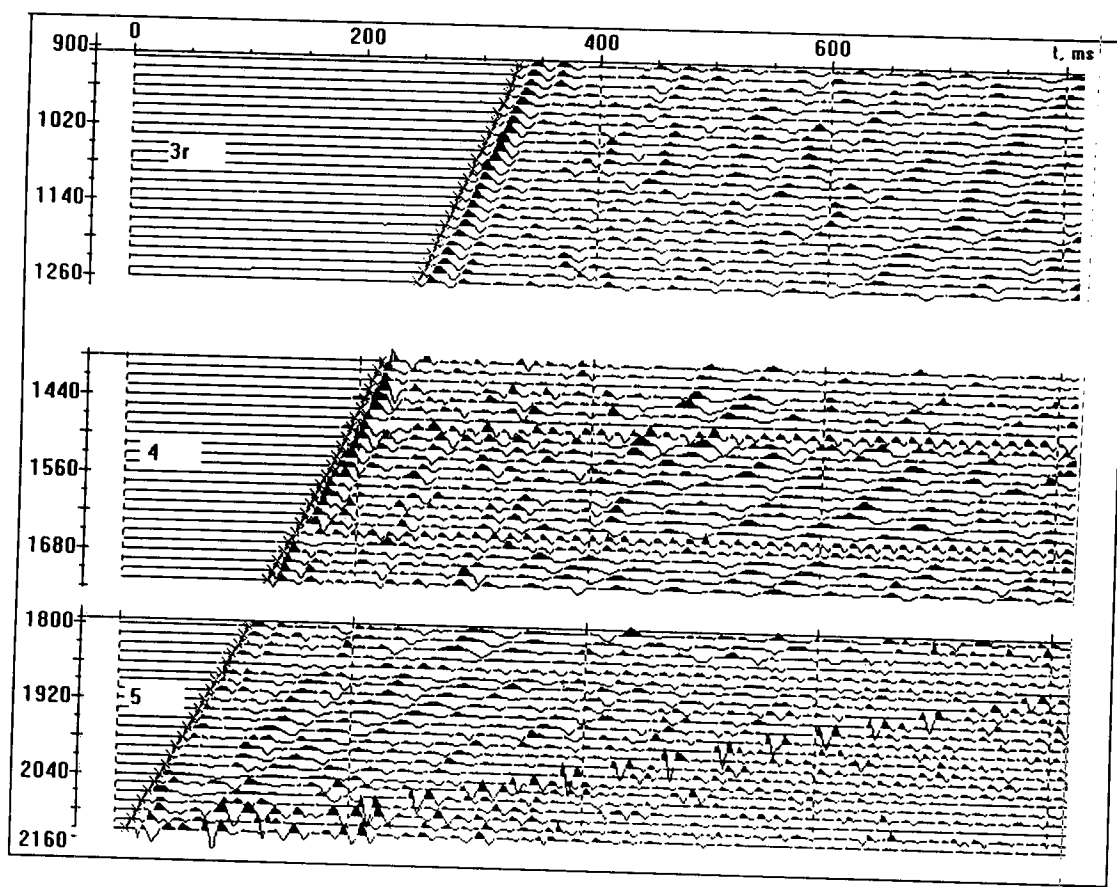
۵ تفسیر کمی داده‌ها و مدل سرعتی محیط
برای تعیین مدل سرعت در سنگ‌های دگرگونی منطقه، روش هرگلوتس - ویچرنس و چی بی شف (گاراینوف، ۱۹۹۲) برای حل وارون انتخاب شده است. زیرا منحنی‌های زمان‌مسافت (شکل ۱) نشان می‌دهند که در سنگ‌های دگرگونی منطقه، سرعت موج P با عمق، به طور پیوسته افزایش می‌یابد. در این روش برای هر نقطه دلخواه x_n از منحنی زمان‌مسافت، سرعت ظاهری $v^*(x_n)$ محاسبه شده که به عمق حداقل نفوذ هر پرتو (z_m) تعلق دارد و از رابطه زیر به دست می‌آید.

$$z_m(x_n) = \frac{\Delta x}{\pi} \sum_{x_1=0}^{x_1=x_n} 2.3026 \log \left[\frac{v^*(x_n)}{v^*(x_1)} + \sqrt{\left[\frac{v^*(x_n)}{v^*(x_1)} \right]^2 - 1} \right] \quad (1)$$

۴ تحلیل داده‌ها
شکل ۱ موقعیت پروفیل‌های P1 تا P5 و منحنی‌های مسافت - زمان مستقیم و وارون را در امتداد NW-SE در چارچوب یک پروفیل ترکیبی نشان می‌دهد. در این شکل منحنی‌های ۱، ۲ و ۳، منحنی‌های مسافت‌زمان مستقیم از پروفیل‌های P3 تا P1 و منحنی‌های ۴، ۵ نیز منحنی‌های مسافت‌زمان وارون از پروفیل‌های P3 تا P5 هستند که به ترتیب از چشم‌های انفجار در نقطه A و B حاصل شده‌اند. انحنای ملایم در این منحنی‌ها و دینامیک امواج ثبت شده در رسیدهای اول نشان می‌دهد که این امواج از نوع شکست مرزی‌اند و به علت تغییرات پیوسته و گرادیان خواص کشسانی سنگ‌های دگرگونی منطقه با عمق ایجاد شده است. منحنی‌ها نشان می‌دهند که سرعت انتشار موج P در سنگ‌های دگرگونی منطقه به تدریج با عمق افزایش می‌یابد و تا بیشترین عمق نفوذ پرتو در محدوده مورد مطالعه، مرز شکستی ناشی از تغییرات شدید سنگ‌شناختی مشاهده نمی‌شود. منحنی‌های زمان‌مسافت در پروفیل بلند (NW-SE) شکل ۱ مقارن هستند و نشان می‌دهد که خواص کشسانی سنگ‌های دگرگونی منطقه در جهت (NW-SE) یکنواخت است و غیر یکنواختی عمده در جهت قائم به چشم می‌خورد. از نظر سینماتیکی و دینامیکی امواج ثبت شده در نگاشته‌های لرزه‌ای پروفیل‌هایی که عمود بر امتداد (NW-SE) (اجرا شده‌اند همانند



شکل ۱. مجموعه منحنی‌های مسافت-زمان در امتداد پروفیل بلند.



شکل ۲. نگاشت‌های لرزه‌ای وارون در پروفیل‌های P3 تا P5.

در این رابطه، Δx ، فاصله بین ژئوفون‌های متوازی است. منحنی سرعت با عمق نشان می‌دهد که سنگ‌های منطقه تحت تأثیر عوامل دگرگونی (فشار و دما) که در جهت شبه قائم عمل نموده تشکیل شده‌اند. سنگ‌های دگرگونی منطقه دارای سنگ مادر پلیتی‌اند که از دگرگونی رس‌سنگ‌ها، شامل کانی‌های رسی، کوارتز و احتمالاً پلازیوگلاز و یا کانی‌های دیگر تشکیل شده است. در اثر افزایش فشار و دما در فرایند دگرگونی ضعیف با تبدیل رس‌ها به کلریت، سنگ به اسلیت تبدیل شده است. با افزایش فشار و دما با عمق و تبدیل کلریت به سرسیت و مسکویت و احتمالاً کمی بیوتیت، سنگ به فیلیت تبدیل شده است. نتایج گمانه‌های حفاری تا عمق ۴۵۰ متری در محدوده تغییرات تدریجی، ساختار سنگ دگرگونی و فولیاسیون را تأیید می‌کند.

در این رابطه، Δx ، فاصله بین ژئوفون‌های متوازی است. منحنی تغییرات سرعت موج P با عمق $v(z)$ برای هر زوج $\{(x_n), z_n\}$ در شکل ۳ رسم شده است.

مدل سرعت در محیط دگرگونی مورد مطالعه بعد از حل وارون (شکل ۳) نشان می‌دهد که روند تغییرات سرعت موج P با عمق خطی افزایش می‌یابد و با اعمال رگرسیون خطی، تابع تغییرات آن با عمق به صورت زیر است:

$$(2) \quad v(z) = 3200 + 6/5 \cdot z$$

۶. بحث و بررسی تخلخل

نتایج مطالعات لرزه‌ای نشان می‌دهد که روند افزایش سرعت موج P در سنگ‌های دگرگونی منطقه با عمق، خطی و تابع تغییرات آن

پت کی ویج (۱۹۷۶) نتایج، حاصل از رابطه زمان متوسط را برای سنگ‌های دگرگونی، بسیار خوب ارزیابی می‌کند. برای تعیین میزان تخلخل در سنگ‌های دگرگونی منطقه، فرمول زمان متوسط را به صورت زیر می‌توان به کار برد:

$$\frac{1}{v_p} = \frac{k_p}{v_1} + \frac{1-k_p}{v_2} \quad (3)$$

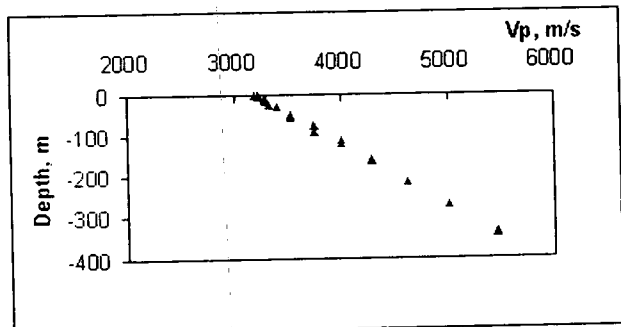
که در آن v_p , v_1 و v_2 به ترتیب سرعت موج طولی در سنگ دگرگونی منطقه، سیال و یا گاز موجود در خلل و فرج و ماتریکس هستند. k_p نیز در این رابطه ضریب تخلخل کل است. میزان سرعت موج P در کانی‌های تشکیل دهنده ماتریکس سنگ در منطقه که به طور عمده کوارتز، مسکویت و بیوتیت‌اند، نزدیک است و به طور متوسط ۶۱۵۰ متر بر ثانیه از کتاب پتروفیزیک (دورتمون، ۱۹۸۴) تنظیم شده توسط بلیکوف و همکاران (۱۹۷۰) استخراج شده است.

بر اساس گمانه‌های حفاری شده در منطقه، تا عمق ۴۵۰ متر وجود آب گزارش نشده است. از سوی دیگر نتایج لرزه‌نگاری نیز نشان می‌دهد که سرعت موج P با عمق به طور یکنواخت و پیوسته افزایش می‌یابد و افزایش ناگهانی در سرعت دیده نمی‌شود. بنابراین سنگ‌های دگرگونی منطقه خشک است. برای شرایط مشابه می‌توان سرعت پرکننده حفره‌ها (v_1) را ۳۵۰ متر بر ثانیه منظور نمود (بلیکوف و همکاران، ۱۹۷۰).

بنابراین برای تعیین نحوه توزیع میزان تخلخل در سنگ‌های دگرگونی منطقه عامل‌های زیر را در فرمول زمان متوسط (تبديل یافته $(v_p, v_1, v_2) = f(z)$) جایگزین می‌کنیم:

$$z = \frac{3200 + 6/5}{v_p(z)} \text{ از صفر تا عمق } 350 \text{ متر تغییر می‌کند،} \quad v_1 = 350 \text{ متر بر ثانیه و} \quad v_2 = 6150 \text{ متر بر ثانیه.}$$

شکل ۴ تغییرات میزان تخلخل را بر حسب شدت دگرگونی از سطح به عمق نشان می‌دهد که با قرار دادن عامل‌های سرعت سنگ‌های منطقه در فرمول زمان متوسط، محاسبه شده است. براساس محاسبات انجام شده میزان تخلخل در سنگ‌های دگرگونی منطقه از سطح با تخلخل ۵/۵ درصد (اسلت) به کمتر



شکل ۳. روند تغییرات سرعت موج P با عمق بعد از حل وارون

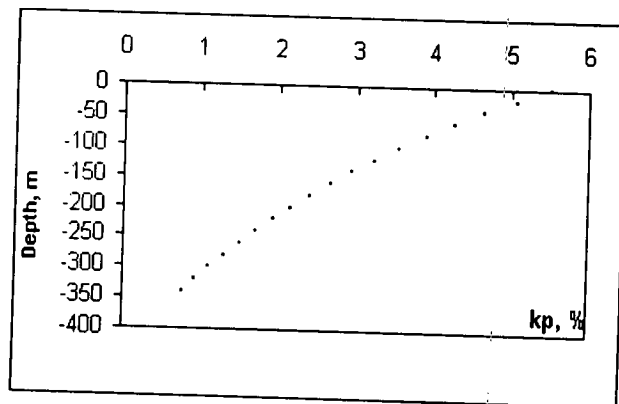
تخلخل سنگ‌های دگرگونی منطقه مورد مطالعه ماهیت ساختی و بافتی دارند. در خصوص تخلخل ساختی می‌توان به تخلخل‌های مسدود محلی و تخلخل‌هایی که به صورت کانالی گسترش دارند و با ساخت سنگ مرتب هستند اشاره کرد. در مورد تخلخل بافتی می‌توان به تخلخل صفحه‌ای در بین سطوح تورق و یا تخلخل ناشی از گسترش درزه‌ها در سنگ اشاره نمود. نتایج بررسی‌های تجربی روی مدل‌ها (ماگید، ۱۹۷۸) نشان داده است که تأثیر تخلخل ساختی بر سرعت امواج در سنگ بسیار کم و تأثیر تخلخل بافتی شدید است. از سوی دیگر میزان گرادیان سرعت که برای مجموعه سنگ‌های دگرگونی مشاهده شده است بین ۱/۵ تا ۵ است (گاراینوف و همکاران، ۱۹۹۲). به نظر می‌رسد که میزان گرادیان سرعت در سنگ‌های دگرگونی منطقه (۶/۵) دارای بی‌هنجاری است.

منطقه در زون نا آرام و فعال تکتونیکی سندج - سیرجان واقع شده است که فازهای تکتونیکی مهمی نیز در آن رخ داده است (درویش زاده، ۱۳۷۰). شواهد صحرایی نیز نشان می‌دهد که منطقه به شدت تحت تأثیر تنش‌های زمین‌ساختی قرار دارد. این عوامل سبب شده است تا درزه‌ها و شکستگی‌ها در سنگ‌های دگرگونی منطقه گسترش یابد و تخلخل ثانویه و بافتی را افزایش دهد. در قسمت‌های سطحی تر، عوامل فرسایش و هوازدگی در طول زمان میزان تخلخل را افزایش داده و موجب افزایش گرادیان سرعت شده است.

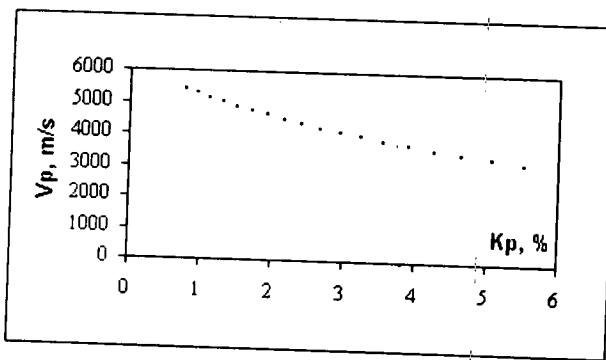
میزان گرادیان سرعت در سنگ‌های دگرگونی ناحیه مورد مطالعه (محدوده سد زاینده‌رود) ناشی از عملکرد همزمان پدیده دگرگونی و فعالیت‌های زمین‌ساخت در منطقه است که موجب گسترش درزهای تخلخل ناتویه در سنگ شده است و به علت هوازدگی از سطح، میزان گرادیان سرعت را با عمق افزایش داده است.

میزان سرعت موج P به طور پیوسته از سطح تا عمق به مقدار ۳۵۰ متر از ۳۲۰۰ تا ۵۴۷۵ متر بر ثانیه تغییر می‌کند که با شواهد سنگ‌شناختی و تغییر تدریجی وضعیت سنگ‌شناختی (اسلیت به شیست) همخوانی خوبی دارد.

میزان تخلخل در سنگ‌های دگرگونی منطقه از سطح تا عمق ۳۵۰ متری از ۱/۵ تا کمتر از ۱ درصد (از اسلیت به شیست) تغییر می‌کند و بالا بودن میزان تخلخل در عمق‌های کم، نشان دهنده میزان هوازدگی سطحی در سنگ‌های منطقه مورد مطالعه بالا است.



شکل ۴. تغییرات میزان تخلخل با عمق در سنگ‌های دگرگونی منطقه.



شکل ۵. تغییرات میزان تخلخل با سرعت موج P در سنگ‌های دگرگونی منطقه.

از ۱ درصد در عمق ۳۵۰ متری (در شیست) کاهش می‌یابد. در شکل ۵ تغییرات میزان تخلخل در سنگ‌های دگرگونی منطقه با سرعت موج P آمده است. این نمودار نشان می‌دهد بین تخلخل و سرعت موج P رابطه عکس وجود دارد به طوری که با کاهش تخلخل از ۱/۵ درصد به حدود کمتر از ۱ درصد، میزان سرعت از ۳۲۰۰ متر بر ثانیه به ۵۴۷۵ متر بر ثانیه افزایش می‌یابد.

منابع

- جوهریان، ع. و نبی‌بیدهندی، م.، ۱۳۷۲، اثر تخلخل بر سرعت موج تراکمی در ماسه سنگ‌ها و مقایسه روابط سرعت با توجه به داده‌های آزمایشگاهی و صحرایی: ن. فیزیک زمین و فضا، ۲۰(۱)، ۱۱-۳۱.
- درویش‌زاده، ع.، ۱۳۷۰، زمین‌شناسی ایران، انتشارات امیر کیم.

۷ نتیجه‌گیری

در سنگ‌های دگرگونی منطقه سد زاینده‌رود، تابع تغییرات سرعت موج P یا عمق خطی است و برای محدوده عمقی مورد مطالعه (از صفر تا ۳۵۰ متری) از رابطه $Z = 3200 + 6/5 \cdot Z$ تبعیت می‌کند. میزان گرادیان سرعت با عمق مثبت و برابر $6/5$ (ثانیه/۱) است.

- Belikov, B. P., Aleksandrov, K. S. and Ryzhova, T. V., 1970, Elastic properties of rock-forming minerals and rocks. Moscow, Nauka.
- Dortman, N. B., 1984, Physical properties of rocks and mineral deposits (Petrophysics), A Geophysicist's Handbook. Moscow, Nedra.
- Garainov, N. N., 1992, Application of seismoacoustic methods in Hydrogeology and Engineering Geology, Moscow, Nedra.
- Magid, M. S., 1978, Physical properties of minerals and rocks, Given high thermodynamic parameters. Baky, ELM.
- Petkevich, G. I., 1990, The acoustic characteristic of geological media. Kiev, Naukova Domka, 1976.
- Potapov, O. A. Interpretation of seismicData. Handbook, Moscow, Nedra.
- Wyllie, J. R. M., Gregory, A. R. and Gardner, L. W., 1956, Elastic wave velocities in heterogeneous and porous media. Geophysics, 21, 41-70.